

بِسْمِ اللّٰهِ الرَّحْمٰنِ الرَّحِيْمِ

۹۷۸۱۴



دانشکده فنی مهندسی مکانیک  
گروه مهندسی مکانیک

پایاننامه

جهت اخذ درجه کارشناسی ارشد در رشته مهندسی مکانیک  
گرایش سیستم محرکه خودرو

عنوان

بررسی امکان تبدیل سطح استاندارد آلامیندگی موتور

*Stage III* به *Stage II* از سطح Perkins MT4244



استاد راهنمای

دکتر وهاب پیروزپناه  
دکتر یحیی عجب شیرچی

استاد مشاور

دکتر احمد فرزدی

پژوهشگر

کیوان بهلوی

بهمن ماه ۱۳۸۶

۹۷۲۷

تقدیم به

مادر مهربان

و روح پدر بزرگوارم

## سپاسگزاری

حمد وستایش خداوندی را که سخنوران در ثنايش فرو مانند و شمارندگان از شمارش نعمتهايش عاجز آيند و خداوندی که اندیشه های بلند او را درک نکنند و زیرکان تیزهوش ، به عمق جلال و جبروت او نرسند.

بی شک اندک دستاورده علمی اینجانب پس از عنایات خاص خداوندی ، مرهون تلاشها و زحمات بی شائبه تمامی دانشمندان و اساتید میهن عزیzman ایران می باشد ، امید است فرصت خدمتگزاری و ادائی دین به جامعه علمی این مرز و بوم نصیب اینجانب گردد.

بر خود وظیفه می دانم یاد و خاطره استاد راهنمای تازه درگذشته ام جناب آقای دکتر پیروزپناه که در مراحل صحافی این پایان نامه دار فانی را وداع گفتند، گرامی داشته و نیز از زحمات و کمک های فراوان جناب آقای دکتر عجب شیرچی در تمامی مراحل این دستاورده ، کمال تشکر و قدردانی را دارم .  
در پایان از دوستان عزیزم و همچنین همکارانم در مرکز تحقیقات شرکت موتورسازان که در طول انجام این پایان نامه مشوق و راهنمای بنده بوده اند سپاسگزارم.

نام خانوادگی دانشجو: بهلولی

نام: کیوان

عنوان پایاننامه: بررسی امکان تبدیل سطح استاندارد آلیندگی موتور Perkins MT4244 Stage III به Stage II از سطح

اساتید راهنمای: دکتر وهاب پیروز پناه - دکتر یحیی عجب شیرچی

استاد مشاور: دکتر احمد فرزدی

دانشگاه: تبریز	رشته: تبدیل انرژی	مقطع تحصیلی: کارشناسی ارشد
تعداد صفحه: ۱۰۵	تاریخ فارغ التحصیلی: ۸۶/۱۱/۲۰	دانشکده: فنی مهندسی مکانیک

واژه های کلیدی: موتور دیزل - کاهش آلیندگی - خنک کن میانی - توربو شارژر - سیستم پاشش سوخت

چکیده:

با توجه به تشدید آلودگی هوا و متعاقبا وضع استانداردهای سختگیرانه نسبت به آلینده های منتشره از موتورهای درونسوز، کاهش آلیندگی این موتورها اهمیت یافته است. در موتورهای دیزلی با پاشش مستقیم میزان آلینده های  $CO$ ,  $UHC$ , پایین ترمی باشد و بیشتر تمرکز بر روی کاهش آلینده های  $NO_x$  و  $PM$  می باشد. مکانیزم این آلینده ها تحت تاثیر فرآیندهای احتراق دیفیوژنی و پیش آمیخته می باشد، لذا هرگونه تغییر در نوع احتراق بمنظور کاهش یکی از این آلینده ها به افزایش دیگری منجر خواهد شد. در این پایاننامه با بهره گیری از روش های ترکیبی همچون خنک کاری هوا و رودی به موتور با استفاده از خنک کن میانی بمنظور کاهش آلیندگی اکسیدهای نیتروژن ( $NO_x$ )، افزایش فشار پاشش سوخت و آوانس دینامیکی در بار جزئی با تغییر در پمپ انژکتور، تغییر زمان پاشش سوخت و همچنین با توجه به تغییرات اساسی ذکر شده که در موتور بوجود آمده است، تغییر توربو شارژ موتور و انتخاب توربو شارژ مناسب با شرایط عملکردی موتور جهت تامین هوا مورد نیاز بمنظور کاهش آلینده های  $UHC$ ,  $CO$  و  $PM$ ، پرداخته شده است. نتایج بدست آمده از تست های آلیندگی (ECE R96) و نیز عملکردی (ECE R120) نشان از بهبود عملکرد موتور و کاهش آلیندگی آن تا سطح استاندارد Stage III A را دارند.

## فهرست مطالب:

### فصل اول: بررسی منابع و پیشینه پژوهش

۱	..... مقدمه
۴	۱-۱) مکانیزم احتراق و تشکیل آلاینده ها در یک اسپری سوختی
۴	۱-۱-۱) ناحیه فقیر شعله (Lean Flame Region)
۵	۱-۱-۲) ناحیه فقیر بدون شعله (Lean Flame Out Region)
۵	۱-۱-۳) هسته افشاره (Spray Core)
۵	۱-۱-۴) دنباله افشاره (Spray Tail)
۷	۱-۲) برخورد افشاره سوخت با دیواره (Fuel Deposited On the Wall)
۹	۱-۳) آلاینده ها و تاثیر پارامترهای عملکردی
۹	۱-۳-۱) هیدروکربن های نسوخته (UHC)
۱۱	۱-۳-۲) نسبت سوخت به هوای سوخت (Air/Fuel Ratio)
۱۲	۱-۳-۳) توربوشارژر (Turbo Charger)
۱۲	۱-۳-۳-۱) تاثیر زمان پاشش (Injection Timing)
۱۲	۱-۳-۳-۲) چرخش مخلوط داخل سیلندر (Swirl)
۱۳	۱-۳-۳-۳) مونواکسید کربن (CO)
۱۳	۱-۳-۳-۴) ذرات (Particulate Matter)
۱۵	۱-۳-۳-۵) تاثیر عدد ستان (Cetane Number)
۱۵	۱-۳-۳-۶) تاثیر زمان پاشش (Injection Timing)
۱۵	۱-۳-۳-۷) تاثیر فشار پاشش
۱۶	۱-۳-۳-۸) تاثیر قطر نازل
۱۶	۱-۳-۳-۹) تاثیر دمای هوای ورودی به موتور
۱۷	۱-۳-۴) اکسیدهای نیتروژن (NOx)
۱۷	۱-۴) انواع مکانیزم های NO حرارتی
۱۸	۱-۴-۱) مکانیزم NO لحظه ای یا سریع (Prompt)

۱۹	.....(Cetane Number) ۴-۴-۳-۱ تاثیر عدد ستانی
۱۹	.....(Injection Timing) ۴-۴-۳-۱ تاثیر زمان پاشش
۱۹	.....(Swirl) ۴-۴-۳-۱ چرخش مخلوط داخل سیلندر
۲۰	.....(۷-۴-۳-۱) نسبت سوخت به هوا
۲۱	.....(۴-۴) روش های موجود برای کاهش همزمان آلاینده ها
۲۶	.....(۵-۴) کارخانجاتی که در مورد تولید موتورهای ۴ سیلندر Stage IIIA تحقیق می کنند
۲۷	.....(۶-۴) محدودیت سطح آلاینده وسایل نقلیه غیر جاده ای (Off Road)

## فصل دوم: مواد و روش ها

۳۲	.....مقدمه
۳۲	.....(۱-۲) بررسی راهکارهای کاهش آلاینده موتور MT4244
۳۶	.....(۲-۲) خنک کاری هوای ورودی
۳۶	.....(۱-۲-۲) اساس خنک کاری هوای ورودی
۳۸	.....(۲-۲-۲) انواع سیستم های خنک کاری
۳۸	.....(۱-۲-۲-۲) خنک کاری هوای با فن (Mechanical Fan Drive Air to Air)
۳۹	.....(۲-۲-۲-۲) خنک کاری هوای با توربین (Air to air Tip-Turbine Fan)
۳۹	.....(۳-۲-۲-۲) خنک کاری هوای با آب از طریق سیستم خنک کاری خود موتور (Using Engine Cooling System)
۳۹	.....(۴-۲-۲-۲) خنک کاری هوای با آب از طریق سیستم خنک کاری مستقل (Air to Water Using)
۴۱	.....(۳-۲-۲-۲) تاثیر خنک کاری هوای ورودی بر عملکرد موتور
۴۶	.....(۳-۲) مروری بر اصول تشکیل مخلوط در محفظه احتراق موتور
۴۸	.....(۱-۳-۲) سیستم پاشش سوخت (Fuel Injection System)
۵۲	.....(۲-۳-۲) نسل های جدید سیستم پاشش سوخت
۵۲	.....(۱-۲-۳-۲) سیستم ریل مشترک (Common Rail)
۵۳	.....(۲-۲-۳-۲) سیستم UIS (Unit Injector System)

۵۵	..... (Unit Pump System) UPS سیستم ۳-۲-۳-۲
۵۸	..... ۴-۲ پرخوران و انواع روش های پر خوران
۶۱	..... ۴-۲-۱) نحوه انتخاب پرخوران مناسب
۷۴	..... ۵-۲ تجهیزات سلول تست
۷۵	..... ۵-۲-۱) دستگاه دینامومتر $400kW$
۷۶	..... ۵-۲-۲) دستگاه اندازه گیری مصرف سوخت
۷۷	..... ۵-۲-۳) دستگاه های سنجش آلاینده ها

### فصل سوم: نتایج و بحث

۸۱	..... مقدمه
۸۳	..... ۳-۱) تحلیل نتایج عملکرد موتور به همراه خنک کن میانی
۸۴	..... ۳-۲) تحلیل نتایج آلایندگی موتور به همراه خنک کن میانی
۸۵	..... ۳-۲-۱) تاثیر استفاده از خنک کن میانی بر آلاینده NOx
۸۶	..... ۳-۲-۲) تاثیر استفاده از خنک کن میانی بر آلاینده UHC
۸۷	..... ۳-۲-۳) تاثیر استفاده از خنک کن میانی بر آلاینده PM
۸۸	..... ۳-۲-۴) تاثیر استفاده از خنک کن میانی بر آلاینده CO
۹۰	..... ۳-۳) تحلیل نتایج عملکردی موتور با تغییر پمپ انژکتور Bosch به DPA
۹۱	..... ۳-۴) تحلیل نتایج آلایندگی موتور به همراه خنک کن میانی و پمپ Bosch
۹۲	..... ۳-۴-۱) تاثیر استفاده از پمپ انژکتور Bosch بر آلاینده UHC
۹۳	..... ۳-۴-۲) تاثیر استفاده از پمپ انژکتور Bosch بر آلاینده CO
۹۴	..... ۳-۴-۳) تاثیر استفاده از پمپ انژکتور Bosch بر آلاینده PM
۹۵	..... ۳-۴-۴) تاثیر استفاده از پمپ انژکتور Bosch بر آلاینده NOx
۹۷	..... ۳-۵) تحلیل نتایج عملکردی موتور با تغییر توربوشارژر از نوع TB25 به GT20
۹۸	..... ۳-۶) تحلیل نتایج آلایندگی موتور به همراه خنک کن میانی و پمپ Bosch و توربوشارژر GT20
۹۹	..... ۳-۶-۱) تاثیر تغییر توربو شارژر TB25 به GT20 بر آلاینده UHC
۹۹	..... ۳-۶-۲) تاثیر تغییر توربو شارژر GT20 به TB25 بر آلاینده CO

۱۰۰	.....	۳-۶-۳) تاثیر تغییر توربو شارژر TB25 به GT20 بر آلاینده PM
۱۰۱	.....	۳-۷) نتیجه گیری کلی
۱۰۲	.....	۳-۸) پیشنهاد برای کارهای آینده
۱۰۳	.....	منابع و مأخذ

## فهرست شکل ها:

۴	شکل ۱-۱- مکانیزم احتراق اسپری سوخت پاشیده شده به محفظه احتراق
۶	شکل ۱-۲- نحوه تشکیل آلاینده ها در محفظه احتراق موتور دیزلی
۷	شکل ۱-۳- برخورد جت سوخت با دیواره
۸	شکل ۱-۴- تاثیر فشار پاشش بر نفوذ جت
۸	شکل ۱-۵- تاثیر فشار داخل محفظه بر نفوذ جت
۱۰	شکل ۱-۶- مکانیزم تشکیل هیدروکربن های نسوخته
۱۱	شکل ۱-۷- تاثیر میزان Nozzle SAC Volume بر غلظت UHC برای یک موتور دیزلی پاشش مستقیم
۱۴	شکل ۱-۸- ترکیبات موجود در ذرات خروجی از اگزوز موتورهای دیزلی
۱۵	شکل ۱-۹- نرخ تولید دوده در طول مراحل احتراقی
۱۵	شکل ۱-۱۰- تاثیر عدد ستانی بر آلاینده PM
۱۶	شکل ۱-۱۱- تاثیر قطر نازل بر احتراق، I.S.F.C و آلاینده ها
۱۹	شکل ۱-۱۲- تاثیر عدد ستان بر اکسید های نیتروژن
۲۰	شکل ۱-۱۳- تاثیر سوریل بر آلاینده ها و bsfc بر حسب زمان پاشش
۲۰	شکل ۱-۱۴- نمودار HRR
۱۳	شکل ۱-۱۵- تاثیر افزایش bmep بر آلاینده های NOX و HC
۲۳	شکل ۱-۱۶- مصالحه $NO_x$ و PM
۲۴	شکل ۱-۱۷- تاثیر دمای هوای منیفولد ورودی بر bsfc و نسبت هوای اضافی و آلاینده ها در فشار ثابت منیفولد
۲۴	شکل ۱-۱۸- تاثیر فشارهای منیفولد ورودی بر bsfc و نسبت هوای اضافی و آلاینده ها در دمای ثابت منیفولد
۳۱	شکل ۱-۱۹- سرعت و گشتاور در طول تست NRTC
۳۸	شکل ۱-۲- نسبت افزایش چگالی بر حسب نسبت فشار و برای بازده های مختلف کمپرسور
۳۸	شکل ۱-۲- نسبت افزایش چگالی بر حسب نسبت فشار و برای بازده های مختلف خنک کن میانی

۴۰	شکل ۲-۳- انواع سیستم های خنک کاری
۴۰	شکل ۴-۲- مقایسه عملکرد موتور خنک کاری هوا به هوا و خنک کاری هوا به آب
۴۲	شکل ۵-۲- تاثیر خنک کاری ورودی بر عملکرد موتور در رنج های مختلف سرعت موتور
۴۲	شکل ۶-۲- تاثیر خنک کاری همراه با افزایش سوخت موتور در رنج های مختلف سرعت موتور
۴۳	شکل ۷-۲- تاثیر دما و نسبت سوخت به هوا بر آلایندگی PM
۴۶	شکل ۸-۲- شمایی از اسپری سوخت در موتور دیزلی پاشش مستقیم
۴۷	شکل ۹-۲- میزان نفوذ جت سوختی بر حسب زمان
۵۰	شکل ۱۰-۲- نمای برش خورده از پمپ DPA
۵۰	شکل ۱۱-۲- پمپ Bosch بهمراه تبدیل بروی موتور MT4-244
۵۱	شکل ۱۲-۲- شکل شماتیک مکانیزم عملکرد پمپ های آسیابی
۵۱	شکل ۱۳-۲- مکانیزم سیستم آوانس دینامیکی در بارهای جزئی
۵۲	شکل ۱۴-۲- شکل طرح وارهای سیستم ریل مشترک
۵۳	شکل ۱۵-۲- انژکتور مربوط به سیستم ریل مشترک
۵۴	شکل ۱۶-۲- شکل شماتیک سیستم UIS
۵۴	شکل ۱۷-۲- مقایسه پروفیل نرخ پاشش سوخت در سیستم CR و UIS
۵۵	شکل ۱۸-۲- شکل شماتیک سیستم UPS
۶۰	شکل ۱۹-۲- منحنی عملکرد کمپرسور
۶۳	شکل ۲۰-۲- انطباق نتایج تست موتور با توربو شارژر TB25 بر روی منحنی عملکرد کمپرسور TB25
۶۷	شکل ۲۱-۲- آدپتور واسط منیفولد دود به توربوشارژر GT20
۶۸	شکل ۲۲-۲- توربوشارژر GT20 بهمراه آدپتور مربوطه و منیفولد دود
۶۸	شکل ۲۳-۲- توربوشارژر GT20 بهمراه آدپتور مربوطه و منیفولد دودنصب شده بر روی موتور
۷۲	شکل ۲۴-۲- انطباق نتایج تست موتور با توربو شارژر GT20 بر روی منحنی عملکرد کمپرسور GT20
۷۴	شکل ۲۵-۲- نمودار مربوط به استاندارد آلایندگی R24
۷۵	شکل ۲۶-۲- دینامومتر مغناطیسی مورد استفاده در سلول تست مرکز تحقیقات موتورسازان

- ۷۹ شکل ۲-۲- نمایی از سلول تست به همراه موتور
- ۸۰ شکل ۲-۳- نمایی از دستگاه های مورد استفاده در مرکز تحقیقات موتورسازان
- ۸۲ شکل ۳-۱- نمودار مقایسه مقادیر توان موتور MT4244 در حالت پایه (stageII) و با استفاده از خنک کن میانی (هر دو با پمپ DPA)
- ۸۲ شکل ۳-۲- نمودار مقایسه مقادیر گشتاور موتور MT4244 در حالت پایه (stageII) و با استفاده از خنک کن میانی (هر دو با پمپ DPA)
- ۸۲ شکل ۳-۳- نمودار مقایسه مقادیر bsfc موتور MT4244 در حالت پایه (stageII) و با استفاده از خنک کن میانی (هر دو با پمپ DPA)
- ۸۴ شکل ۴-۳- نتایج تست الایندگی ECER96 8mode موتور MT4244 در حالت پایه (stageII) و با استفاده از خنک کن میانی (هر دو با پمپ DPA)
- ۸۵ شکل ۵-۳- مقادیر آلاینده NO<sub>x</sub> در تست 8mode برای حالت پایه (stageII) و با استفاده از خنک کن میانی (هر دو با پمپ DPA)
- ۸۶ شکل ۶-۳- مقادیر آلاینده UHC در تست 8mode برای حالت پایه (stageII) و با استفاده از خنک کن میانی (هر دو با پمپ DPA)
- ۸۷ شکل ۷-۳- مقادیر آلاینده PM در تست 8mode برای حالت پایه (stageII) و با استفاده از خنک کن میانی (هر دو با پمپ DPA)
- ۸۸ شکل ۸-۳- مقادیر آلاینده CO در تست 8mode برای حالت پایه (stageII) و با استفاده از خنک کن میانی (هر دو با پمپ DPA)
- ۸۹ شکل ۹-۳- نمودار مقایسه مقادیر توان موتور MT4244 در حالت پایه با خنک کن میانی و پمپ DPA و موتور Bosch پایه با استفاده از خنک کن میانی و پمپ DPA
- ۸۹ شکل ۱۰-۳- نمودار مقایسه مقادیر گشتاور موتور MT4244 در حالت پایه با خنک کن میانی و پمپ DPA و موتور Bosch با استفاده از خنک کن میانی و پمپ DPA
- ۸۹ شکل ۱۱-۳- نمودار مقایسه مقادیر bsfc موتور MT4244 در حالت پایه با خنک کن میانی و پمپ DPA و DPA

موتور پایه با استفاده از خنک کن میانی و پمپ Bosch

شکل ۱۲-۳- نتایج تست آلیندگی ECER96 8mode موتور MT4244 در حالت پایه با استفاده از خنک کن ۹۱

میانی و پمپ DPA و موتور پایه با استفاده از خنک کن میانی و پمپ Bosch

شکل ۱۳-۳- مقادیر آلیندگی UHC در تست 8mode برای حالت پایه با خنک کن میانی و پمپ DPA و موتور ۹۲

پایه با استفاده از خنک کن میانی و پمپ

شکل ۱۴-۳- مقادیر آلیندگی CO در تست 8mode برای حالت پایه با خنک کن میانی و پمپ DPA و موتور ۹۳

پایه با استفاده از خنک کن میانی و پمپ

شکل ۱۵-۳- مقادیر آلیندگی PM در تست 8mode برای حالت پایه با خنک کن میانی و پمپ DPA و موتور ۹۴

پایه با استفاده از خنک کن میانی و پمپ

شکل ۱۶-۳- مقادیر آلیندگی NOx در تست 8mode برای حالت پایه با خنک کن میانی و پمپ DPA و موتور ۹۵

پایه با استفاده از خنک کن میانی و پمپ

شکل ۱۷-۳- نمودار مقایسه مقادیر توان موتور MT4244 در حالت پایه با خنک کن میانی و پمپ و Bosch ۹۶

توربشارژر TB25 و موتور پایه با استفاده از خنک کن میانی و پمپ Bosch و توربشارژر GT20

شکل ۱۸-۳- نمودار مقایسه مقادیر گشتاور موتور MT4244 در حالت پایه با خنک کن میانی و پمپ Bosch ۹۶

توربشارژر TB25 و موتور پایه با استفاده از خنک کن میانی و پمپ Bosch و توربشارژر GT20

شکل ۱۹-۳- نمودار مقایسه مقادیر موتور MT4244 در حالت پایه با خنک کن میانی و پمپ Bosch و ۹۶

توربشارژر TB25 و موتور پایه با استفاده از خنک کن میانی و پمپ Bosch و توربشارژر GT20

شکل ۲۰-۳- نتایج تست آلیندگی ECER96 8mode موتور MT4244 در حالت پایه با خنک کن میانی، ۹۸

پمپ Bosch و توربشارژر TB25 و موتور پایه با استفاده از خنک کن میانی و پمپ Bosch و

توربشارژر GT20

شکل ۲۱-۳- مقادیر آلیندگی CO در تست 8mode برای حالت پایه با خنک کن میانی و پمپ و توربوج ۹۹

شارژر TB25 و موتور پایه با استفاده از خنک کن میانی و پمپ Bosch و توربشارژر GT20

شکل ۲۲-۳- مقادیر آلیندگی PM در تست 8mode برای حالت پایه با خنک کن میانی و پمپ و توربوج ۱۰۰

شارژر TB25 و موتور پایه با استفاده از خنک کن میانی و پمپ Bosch و توربشارژر GT20

**جداول:**

۲۸	جدول ۱-۱- استاندارد های Stage II و Stage I مربوط به موتورهای دیزلی
۲۹	جدول ۱-۲- استاندارد Stage IIIA مربوط به موتورهای دیزلی
۲۹	جدول ۱-۳- استاندارد Stage IIIB مربوط به موتورهای دیزلی
۲۹	جدول ۱-۴- استاندارد Stage IV مربوط به موتورهای دیزلی
۳۳	جدول ۲-۱- مشخصات موتور در حالت پایه و Stage II
۳۴	جدول ۲-۲- مقادیر تست عملکرد موتور MT4244 Stage II در حالت MT4244 براساس استاندارد R120
۳۵	جدول ۲-۳- مقادیر تست آلایندگی موتور MT4244 Stage II در حالت MT4244 براساس استاندارد ECE R96
۴۴	جدول ۲-۴- مقادیر تست عملکرد موتور MT4244 Stage II با خنک کن میانی براساس استاندارد R120
۴۵	جدول ۲-۵- مقادیر تست آلایندگی موتور MT4244 Stage II با خنک کن میانی طبق استاندارد ECE R96
۵۶	جدول ۲-۶- مقادیر تست عملکرد موتور MT4244 Stage II با خنک کن میانی و با استفاده از پمپ انژکتور Bosch بر اساس استاندارد R120
۵۷	جدول ۲-۷-۲- مقادیر تست آلایندگی موتور MT4244 Stage II با خنک کن میانی و با استفاده از پمپ انژکتور Bosch بر اساس تست آلایندگی ECE R96
۶۲	جدول ۲-۸- جریان هوا و نسبت فشار تصحیح شده برای توربو شارژر TB25 در دورهای عملکردی
۶۹	جدول ۲-۹- مقادیر تست آلایندگی موتور MT4244 Stage II با خنک کن میانی و با استفاده از پمپ انژکتور Bosch و توربو شارژر GT20 بر اساس تست آلایندگی ECE R96
۷۰	جدول ۲-۱۰- مقادیر تست عملکرد موتور MT4244 Stage II با خنک کن میانی و با استفاده از پمپ انژکتور Bosch و توربو شارژر GT20 بر اساس استاندارد R120
۷۱	جدول ۲-۱۱- جریان هوا و نسبت فشار تصحیح شده برای توربو شارژر GT20 در دورهای عملکردی
۷۴	جدول ۲-۱۲- نتایج حاصل از تست مربوط به استاندارد R24

## فصل اول :

بررسی منابع و پیشینه پژوهش

## مقدمه

## تاریخچه آلودگی هوا:

در اوایل قرن هجدهم ، انقلاب صنعتی با در اختیار گرفتن بخار برای تولید توان، توسط ساوری<sup>۱</sup>، پاپین<sup>۲</sup> و نیوکامن<sup>۳</sup> آغاز گردید و با شاهکار وات<sup>۴</sup> با تولید موتور رفت و برگشتی به اوج خود رسید. ماشین های بخار و توربین های بخار نیاز به بویلر های بخار داشتند که پیش از ظهرور نیروگاه های اتمی ، با سوخت فسیل و گیاهی آتش می گرفتند. در قرن نوزدهم سوخت اساسی برای بویلرها ، زغال سنگ بود که در اواخر آن نفت نیز به چرخه سوختی اضافه گشت. در این دوران برجسته ترین آلینده هوا ، دوده و خاکستر حاصل از احتراق زغال سنگ و نفت در کوره بویلرهای نیروگاه ها، لوکوموتیو ها، کشتی های دریایی و همچنین در اجاق خانه ها بود.

در بریتانیا در سال ۱۸۴۸ میلادی اولین آزانس سلامتی به منظور کاهش آلینده دوده و خاکستر تاسیس گردید و در ایالات متحده آمریکا ، کاهش آلینده دوده ، برای اولین بار بر عهده شهرداری ها گذاشته شد. در آن زمان هیچگونه قانون یا آیین نامه ای برای کاهش دوده وجود نداشت، در سال ۱۸۸۰ میلادی اولین آیین نامه محلی توسط شهرداری ها برای محدود کردن آلینده دوده و خاکستر از کارخانجات صنعتی ، لوکوموتیو ها و کشتی ها اعلام گردید.

اولین تکنولوژی اساسی که برای کنترل آلیندگی هوا در طول قرن نوزدهم توسعه پیدا کرد استفاده از دستگاه تصفیه گاز کوره بلند به منظور حذف گازهای سمی از سیال خروجی بود.

در اوایل قرن بیستم و در طول سال های ۱۹۰۰ تا ۱۹۲۵ میلادی تحولات زیادی در نحوه تشکیل آلینده ها و کنترل آنها بوجود آمد. با جایگزینی موتورهای الکتریکی به جای ماشین های بخار تولید آلینده ها از بویلر کارخانه ها و مسیر راه آهن ها به ایستگاه های تولید برق منتقل گردید و

<sup>1</sup> Savery<sup>2</sup> Papin<sup>3</sup> Newcomen<sup>4</sup> Watt

همچنین با جایگزینی زغال با نفت میزان خاکستر به شدت کاهش یافت، اساسی ترین تغییر تکنولوژی در صنعت تولید تصاعدی اتومبیل‌ها بود.

با بروز فاجعه‌های زیست محیطی در سال ۱۹۴۸ میلادی در پین سیلوانیا (Pennsylvania) و حوادث مشابه در مناطق مختلف، اولین سمپوزیوم ملی آلودگی هوا در سال ۱۹۴۹ میلادی در کالیفرنیا و اولین کنفرانس تکنولوژی کاهش آلودگی هوا در واشنگتن (Washington) برگزار گردید. در طول این دوره اساسی ترین تغییر استفاده از لوله‌های گاز طبیعی برای گرمایش خانه‌ها بجای استفاده از زغال و نفت بود که به بهبود کیفیت هوا منجر شد. لوکوموتیوهای دیزلی جای لوکوموتیوهای بخار را گرفتند و موتورهای احتراق داخلی به بازار عرضه گردیدند. با وجود این هیچگونه قانون ملی برای محدودیت آلاینده‌ها در جهان وجود نداشت.

در بین سالهای ۱۹۵۰ تا ۱۹۸۰ میلادی در انگلیس تلاش‌های زیادی برای کاهش آلاینده‌گی هوا صورت گرفت. با تغییر سیستم گرمایش خانه‌ها که با سوزاندن زغال برای هر اتاق انجام می‌گرفت و با استفاده از سیستم گرمایش مرکزی و گرمایش الکتریکی میزان غلظت دوده موجود در هوا بشدت کاهش یافت، بطوریکه میزان کدری صفحه فیلتر با عبور هوا از آن در سال ۱۹۵۸ میلادی از میزان

$$\frac{\mu gr}{m^3} \text{ به مقدار } 175 \text{ در سال ۱۹۶۸ میلادی کاهش یافت}[1].$$

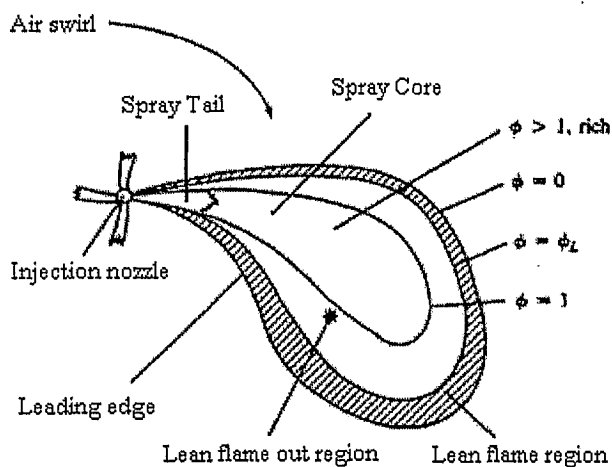
در طول این مدت تقریباً اکثر کشورهای اروپایی در شهرهای بزرگ خود بصورت جدی آلودگی هوا را تجربه کردند و مراکز تحقیقاتی و کنفرانس‌های مختلفی را بمنظور کاهش آلاینده‌ها برگزار کردند.

اولین قانون فدرال کنترل آلودگی هوا در سال ۱۹۵۵ میلادی در امریکا تصویب شد و تا سال ۱۹۸۰ میلادی شامل اصلاحیه‌های مختلفی گردید. در طول این مدت تمرکز بر روی اتومبیل‌ها به منظور کاهش آلاینده‌گی هوا و کنترل آنها، بخصوص اکسیدهای سولفور و حذف گوگرد از سوخت و نیز کاهش اکسیدهای نیتروژن در طول فرایند احتراق بود[1].

از این پس، با تکامل و بهره‌گیری از موتورهای احتراق داخلی و جدی‌تر شدن مسائلی چون پدیده گلخانه‌ای، باران‌های اسیدی و مه دود (smog)، قوانین و استانداردهای مختلفی به منظور محدود کردن آلاینده‌ها، از سوی سازمان‌های بین‌المللی وضع گردیده است که برای احراز این استانداردها، نیازمند درک صحیح از نحوه بوجود آمدن آلاینده‌ها در طول فرایند احتراق و استفاده از تکنولوژی‌های جدید و مناسب برای کاهش آلایندگی موتورها می‌باشیم.

## ۱-۱) مکانیزم احتراق و تشکیل آلاینده ها در یک اسپری سوختی

یک اسپری سوختی را بسته به توزیع نسبت هوا به سوخت می توان به نواحی مختلف تقسیم بندی کرد که کیفیت احتراق و نیز تولید آلاینده ها در هر ناحیه متفاوت می باشد (شکل ۱-۱). این ناحیه ها را می توان به صورت زیر دسته بندی کرد :



شکل ۱-۱-مکانیزم احتراق اسپری سوخت پاشیده شده به محفظه احتراق [۲]

### ۱-۱-۱) ناحیه شعله فقیر (Lean Flame Region)

این ناحیه (LFR) مطابق شکل بین لبه و هسته که نسبت سوخت به هوا از صفر تا بینهایت تغییر می کند و هسته های احتراقی در این ناحیه بوجود می آیند، قرار دارد. در این قسمت نسبت سوخت به هوا فقیرتر از استوکیومتری می باشد و احتراق در آن بصورت کامل انجام می گیرد. در این ناحیه آلاینده  $NO_x$  بصورت محلی و به اندازه بالایی تولید می شود که البته در بارهای کم (Light Load) بعلت پایین بودن دما میزان تولید  $NO_x$  نیز پایین خواهد بود.

### ۱-۱-۲) ناحیه فقیر بدون شعله (Lean Flame Out Region)

در نزدیکی لبه (Leading Edge)، مخلوط خیلی فقیر است تا بتواند محترق شود. این ناحیه به نظر می‌رسد عامل اصلی تولید هیدروکربن‌های نسوخته باشد. عوامل بسیاری در تشکیل مناطق LFOR موثرند که از جمله این فاکتورها دما و فشار داخل محفظه در مرحله احتراق، سوریل (Swirl)، جنس سوخت می‌باشد. در کل هر چه دما و فشار بالا باشد نفوذ شعله در قسمت مخلوط فقیر بیشتر خواهد بود.

### ۱-۱-۳) هسته افشاره (Spray Core)

به دنبال احتراق در قسمت LFR، شعله به سمت هسته گسترش پیدا می‌کند. در این ناحیه قطرات بزرگ هستند و گرما را بوسیله تابش از شعله دریافت می‌کنند و در اثر بالا رفتن دما، پخش بخار در اثر برخورد مولکول‌ها افزایش می‌یابد. اگر تمام قطرات بخار شوند شعله در منطقه غنی خواهد سوخت و شدت احتراق این قطرات به شدت تبخیر و پخش سوخت در شعله و نیز میزان پخش اکسیژن در شعله بستگی دارد.

### ۱-۱-۴) دنباله افشاره (Spray Tail)

آخرین قسمت از سوختی که به محفظه پاشیده می‌شود و در اثر فشار کم پاشش و افزایش فشار داخل سیلندر، معمولاً به تشکیل قطرات بزرگ منجر می‌شود. این قسمت در بار زیاد (High Load) شانس کمی برای بدست آوردن اکسیژن لازم برای احتراق دارند، ولی بعلت اینکه گازهای احاطه کرده دارای دمای بالایی هستند و انتقال گرما به این قطرات بالاست، این قطرات بخار و تجزیه می‌شوند. این ترکیبات شامل هیدروکربن نسوخته و کربن هستند که در اثر اکسیداسیون جزئی می‌توانند به تولید CO و آلدئید منجر شوند [۲].